Date: 21/06/2012 Page: 1/14 Responsable: Samuel GENIAUT Clé: V3.04.155 Révision: 9157

SSLV155 - Fissure lentille en traction

Résumé:

Ce test a pour but de valider le calcul des facteurs d'intensité de contrainte (SIFs) le long du fond d'une fissure 3D non plane, dans le cadre de l'élasticité linéaire.

Ce test met en jeu un cube avec une fissure en forme de lentille, soumis à une tension hydrostatique.

Ce test contient 3 modélisations :

- -Modélisation A : la fissure est maillée en 2D-axi (FEM) ;
- -Modélisation B : la fissure n'est pas maillée, elle est représentée par des level sets (X-FEM) en 2D-axi ;
- -Modélisation C : la fissure n'est pas maillée, elle est représentée par des level sets (X-FEM) en 3D ;

Il n'y a pas de modélisation FEM en 3D car la création du maillage est extrêmement difficile.

Pour chaque modélisation, les SIFs sont évalués par les commandes POST K1 K2 K3 et CALC G. Les valeurs numériques sont comparées aux valeurs analytiques.

Titre: SSLV155 - Fissure lentille en traction

Date: 21/06/2012 Page: 2/14

Responsable : Samuel GENIAUT Clé : V3.04.155 Révision : 9157

1 Problème de référence

1.1 Géométrie

On considère un cube de coté 2L et une fissure en forme de lentille (Lens shaped crack) de rayon R tel que $\frac{L}{R}$ =5 et d'angle au centre α = $\frac{\pi}{4}$ (voir Figure 1).

L'équation caractéristique de la forme de la surface de la fissure est :

$$x^2 + y^2 + (z - R)^2 = R^2$$
 avec $0 \le z \le (1 - \cos \alpha)R$.

On pose $a = R \sin \alpha$.

L'équation caractéristique du fond de fissure est :

$$x^2+y^2=a^2$$
 avec $z=(1-\cos\alpha)R$

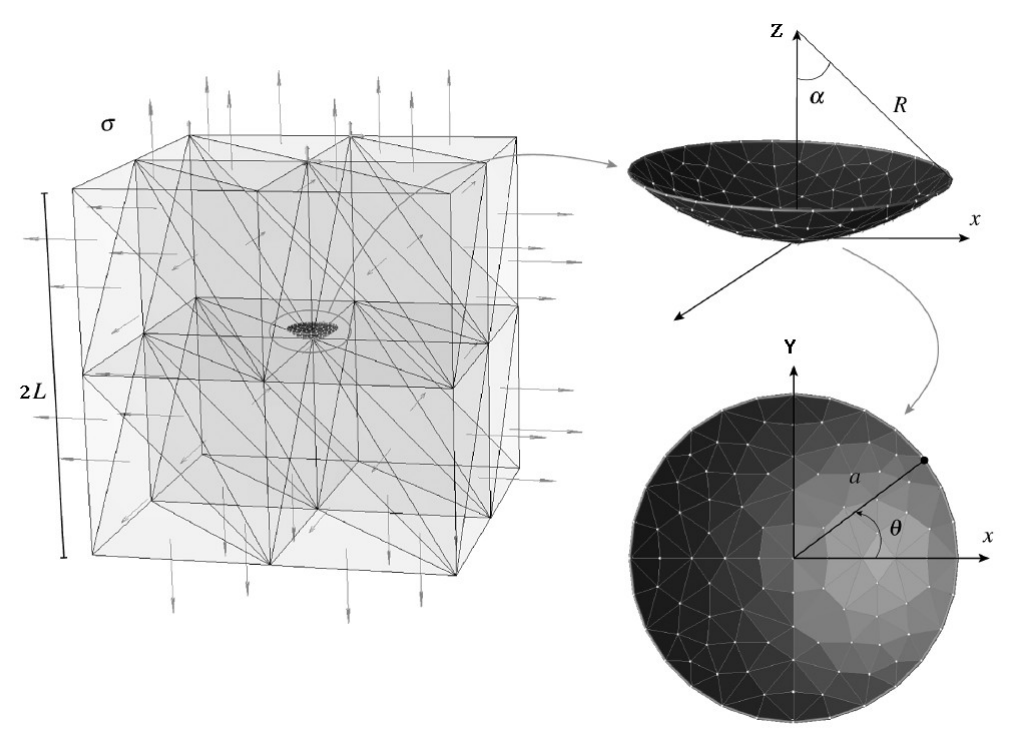


Figure 1: géométrie du cube fissuré

1.2 Propriétés de matériaux

Le matériau est élastique isotrope dont les propriétés sont : $E\!=\!210\,000\,MPa$

v = 0.3

1.3 Conditions aux limites et chargements

Le cube est soumis à une tension hydrostatique σ .

Titre: SSLV155 - Fissure lentille en traction

Date: 21/06/2012 Page: 3/14

Responsable: Samuel GENIAUT

Date: 21/06/2012 Page: 3/14

Clé: V3.04.155 Révision: 9157

2 Solution de référence

2.1 Méthode de calcul utilisée pour la solution de référence

La solution de référence 3 pour une fissure en forme de lentille de rayon R dans un milieu infini, soumise à une pression uniforme σ assez éloignée de la fissure montre que les facteurs d'intensité de contrainte sont constants le long du fond de fissure et valent :

$$K_{I} = 0.877 \left(\frac{2}{\pi}\right) \sigma \sqrt{\pi a}$$

$$K_{II} = 0.235 \left(\frac{2}{\pi}\right) \sigma \sqrt{\pi a}$$

$$K_{III} = 0$$

avec $a = R \sin \alpha$.

2.2 Résultats de référence

Pour le chargement considéré $\sigma = 1 \, MPa$ et les caractéristiques géométriques suivantes :

$$L=10 \, m, \; R=2 \, m, \; a=\frac{\sqrt{2}}{2}, \; \text{on trouve}$$
 $K_I=1,177 \, MPa \, .\sqrt{m}$ $K_{II}=0,3153 \, MPa \, .\sqrt{m}$ $K_{III}=0$

2.3 Références bibliographiques

(1) J.P. Pereira, C. A. Duarte, D. Guoy et X. Jiao: hp-Generalized FEM and crack surface representation for non-planar 3-D cracks, Int. J. Numer. Engng, vol. 77, 2009

Titre : SSLV155 - Fissure lentille en traction

Date : 21/06/2012 Page : 4/14

Responsable : Samuel GENIAUT

Date : 21/06/2012 Page : 4/14

Clé : V3.04.155 Révision : 9157

3 Modélisation A: Modélisation FEM 2D-axi

3.1 Caractéristiques de la modélisation

Dans cette modélisation, la fissure est maillée (cas FEM) et la structure est modélisée en 2D-axisymétrie.

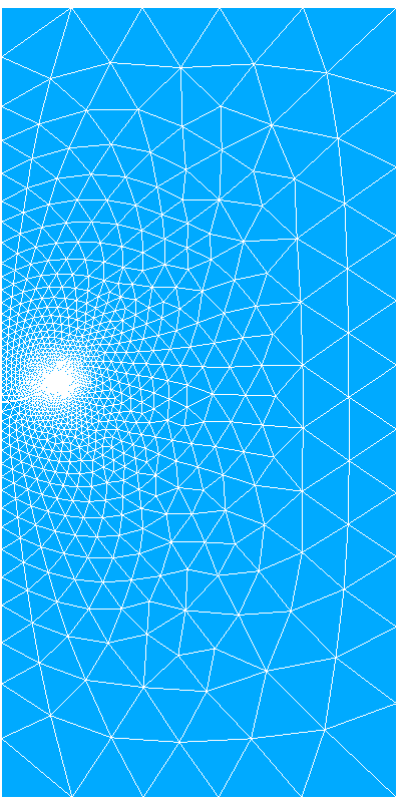


Figure 3.1-1: maillage 2d-axi (FEM)

3.2 Caractéristiques du maillage

Nombre de noeuds : 5211

Nombre de mailles et type : 2550 TRIA6

La longueur caractéristique d'un élément près du fond de fissure est de h = 0,025m.

Les nœuds milieux des arêtes des éléments touchant le fond de fissure sont déplacés au quart de ces arêtes (éléments de Barsoum).

3.3 Conditions aux limites et chargements

- -Un effort surfacique de traction est appliqué sur les faces supérieure, inférieure et celle de droite ;
- -Les déplacements suivant Ox des nœuds de l'axe de rotation sont bloqués, comme cela est conseillé pour les modélisations axisymétriques ;
- -Le mode rigide de déplacement suivant l'axe Oy est bloqué via le blocage d'un nœud suivant cet axe.

3.4 Grandeurs testées et résultats

Responsable: Samuel GENIAUT

Date: 21/06/2012 Page: 5/14 Clé: V3.04.155 Révision: 9157

On teste les valeurs de K_I et K_{II} en fond de fissure issues des commandes <code>CALC_G</code> et <code>POST_K1_K2_K3</code>. Ces valeurs sont comparées à la solution analytique.

Les couronnes d'intégration du champ thêta pour la commande <code>CALC_G</code> sont : $R_{\rm inf}\!=\!2\,h$ et $R_{\rm sup}\!=\!5\,h$.

Le paramètre ABS CURV MAXI de l'opérateur POST K1 K2 K3 est choisi par défaut.

3.4.1 Valeurs issues de CALC G

Les valeurs sont en $Pa.\sqrt{m}$.

Identification	Type de référence	Valeur de référence	% Tolérance
K_I	'ANALYTIQUE'	1,177 10 ⁶	2%
K_{II}	'ANALYTIQUE'	0,3153 10 ⁶	2%

3.4.2 Valeurs issues de POST_K1_K2_K3

Les valeurs sont en $Pa.\sqrt{m}$.

Identification	Type de référence	Valeur de référence	% Tolérance
K_I	'ANALYTIQUE'	1,177 10 ⁶	2%
K_{II}	'ANALYTIQUE'	0,3153 10 ⁶	12%

Date: 21/06/2012 Page: 6/14

Titre: SSLV155 - Fissure lentille en traction

Responsable : Samuel GENIAUT Clé : V3.04.155 Révision : 9157

4 Modélisation B : Modélisation X-FEM 2D-axi

4.1 Caractéristiques de la modélisation

Dans cette modélisation, la fissure n'est pas maillée (cas X-FEM) et la structure est modélisée en 2D-axisymétrie.

La fissure est représentée par des level sets :

$$lsn = \sqrt{\frac{x^2 + (y - R)^2}{R}} - R$$

$$lst = \sqrt{\frac{x^2 + (y - y_h)^2}{R}} - R'$$

$$avec \ y_h = R - \frac{R}{\cos(\alpha)} \text{ et } R' = R \tan(\alpha)$$

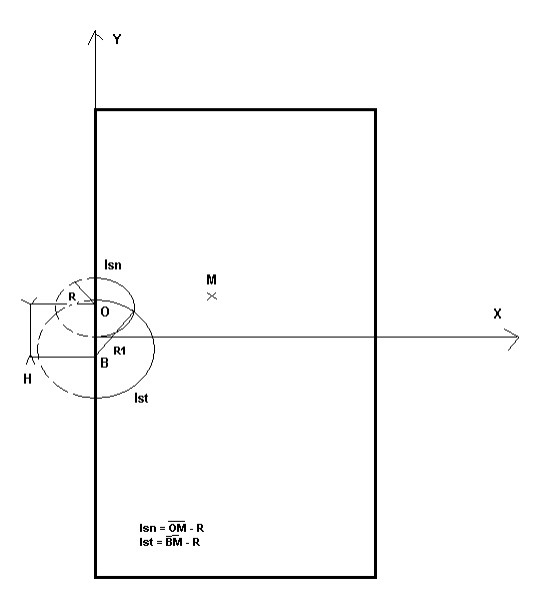


Figure 4.1-1: level sets

4.2 Caractéristiques du maillage

Le maillage sain initial est relativement grossier : 252 nœuds et 442 TRIA3. La taille des mailles est $h_0\!=\!1\,m$. On utilise une procédure de raffinement successif pour aboutir à une taille cible correspondant à la moitié de la taille des mailles de la modélisation A, soit $h_c\!=\!0,\!0125\,m$. En effet, la modélisation A utilise des éléments quadratiques, il faut donc des éléments linéaires plus fins pour obtenir une précision équivalente. Pour cela, on appelle Homard de manière itérative. Après raffinement, la taille des mailles proches du fond de fissure vaut $h\!=\!0,\!0078125\,m$. On raffine toutes les mailles dans un disque de rayon $5\,h$ autour du fond de fissure.

Titre : SSLV155 - Fissure lentille en traction

Date : 21/06/2012 Page : 7/14

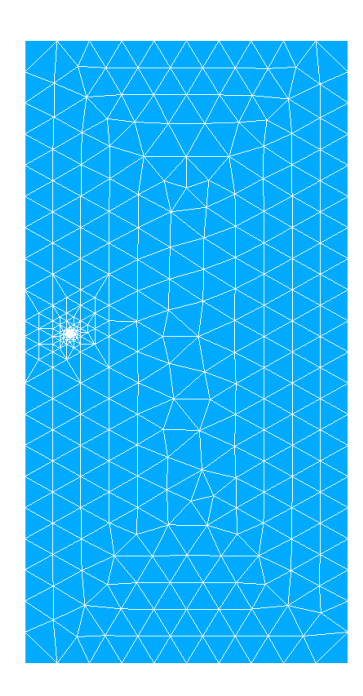
Responsable : Samuel GENIAUT

Date : 21/06/2012 Page : 7/14

Clé : V3.04.155 Révision : 9157



Figure 4.2-1: maillage sain initial



Z_∡

Figure 4.2-2: maillage sain raffiné

Titre : SSLV155 - Fissure lentille en traction

Date : 21/06/2012 Page : 8/14

Responsable : Samuel GENIAUT

Date : 21/06/2012 Page : 8/14

Clé : V3.04.155 Révision : 9157

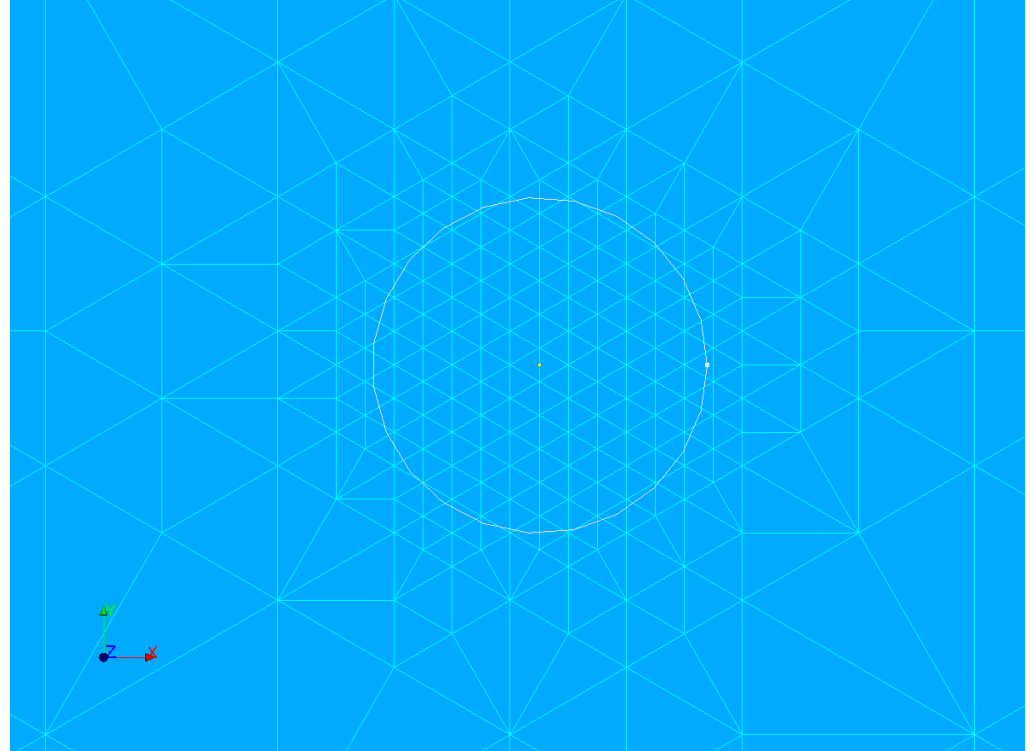


Figure 4.2-3: zoom sur la partie raffinée (le disque de la zone de raffinement est également indiqué)

Nombre de nœuds : 722

Nombre de mailles et type: 1442 TRIA3

La longueur caractéristique d'un élément près du fond de fissure est de 0,0078 m.

Cette taille est inférieure à la taille cible (pour des raisons de division entière par 2 lors du raffinement).

4.3 Conditions aux limites et chargements

- -Un effort surfacique de traction est appliqué sur les faces supérieure, inférieure et celle de droite ;
- -Les déplacements suivant Ox des nœuds de l'axe de rotation sont bloqués, comme cela est conseillé pour les modélisations axisymétriques ;
- -Le mode rigide de déplacement suivant l'axe Oy est bloqué via le blocage d'un nœud suivant cet axe.

4.4 Grandeurs testées et résultats

Le choix des paramètres numériques pour le post-traitement des SIFs est identique à celui fait pour la modélisation A : $R_{inf} = 2h$ et $R_{sup} = 5h$, mais h vaut ici moins de la moitié du h de la modélisation A.

4.4.1 Valeurs issues de CALC_G

Les valeurs sont en $Pa.\sqrt{m}$.

Identification	Type de référence	Valeur de référence	% Tolérance
K_{I}	'ANALYTIQUE'	1,177 10 ⁶	2.0%
K_{II}	'ANALYTIQUE'	0,3153 10 ⁶	7.0%

4.4.2 Valeurs issues de POST K1 K2 K3

Responsable : Samuel GENIAUT

Les valeurs sont en $Pa.\sqrt{m}$.

Identification	Type de référence	Valeur de référence	% Tolérance
K_I	'ANALYTIQUE'	1,177 10 ⁶	6.0%
K_{II}	'ANALYTIQUE'	0,3153 10 ⁶	8.0%

Version default

Titre: SSLV155 - Fissure lentille en traction Date: 21/06/2012 Page: 10/14 Responsable: Samuel GENIAUT Clé: V3.04.155 Révision: 9157

Modélisation C: Modélisation X-FEM 3D 5

5.1 Caractéristiques de la modélisation

Dans cette modélisation, la fissure n'est pas maillée (cas X-FEM) et la structure est modélisée en 3D. Seul un quart de la structure est modélisé, pour des raisons de symétrie.

La fissure est représentée par des level sets :

$$lsn = \sqrt{\frac{x^2 + (y - R)^2 + z^2}{x^2 + (y - y_h)^2 + z^2} - R}$$

$$lst = \sqrt{\frac{x^2 + (y - y_h)^2 + z^2}{x^2 + (y - y_h)^2 + z^2} - R'}$$
avec $y_h = R - \frac{R}{\cos(\alpha)}$ et $R' = R \tan(\alpha)$

Remarque:

En 3d, il existe un choix arbitraire d'orientation de la base locale en fond de fissure. Suivant l'orientation de cette base, le signe de K_{II} et K_{III} sera différent (car lié à la base). Mais cela n'a pas d'influence sur le résultat physique (angle de bifurcation éventuel de la fissure exprimé dans le repère global). Ici, pour retrouver $K_{II} > 0$ comme dans la solution de référence, il faut définir la level set normale comme l'opposée de la formule ci-dessus. Dans cette modélisation, on retiendra finalement $lsn = -\sqrt{x^2 + (v - R)^2 + z^2} + R$. Cela reste une convention et ne change pas le résultat physique! En 2d, le signe de la level set normale n'influe pas sur le signe de K_{II} car en 2d, il n'y a pas de chois

pour définir la base locale.

5.2 Caractéristiques du maillage

Le maillage sain initial est relativement grossier : 2508 nœuds et 11945 TETRA4 . La taille des mailles est $h_0 = 1 \, m$. On utilise une procédure de raffinement successif pour aboutir à une taille cible sensiblement identique à celle de la modélisation A, soit $h_c = 0.025 \, m$. Pour cela, on appelle Homard de manière itérative. Après raffinement, la taille des mailles proches du fond de fissure est $h = 0.015625 \, m$. On raffine toutes les mailles dans un disque de rayon $5 \, h$ autour du fond de fissure.

Nombre de nœuds : 18166

Nombre de mailles et type: 103079 TETRA4

La longueur caractéristique d'un élément près du fond de fissure est de 0,0156 m.

Date: 21/06/2012 Page: 11/14 Responsable: Samuel GENIAUT Clé: V3.04.155 Révision : 9157

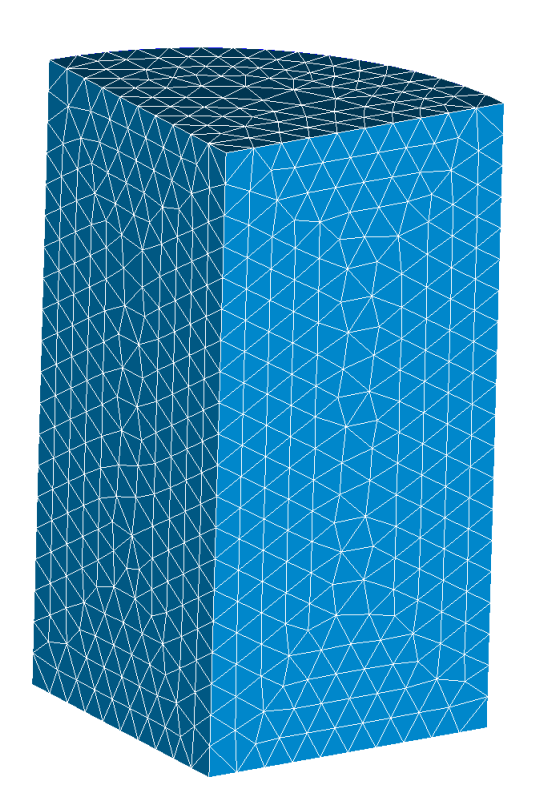


Figure 5.2-1: maillage initial

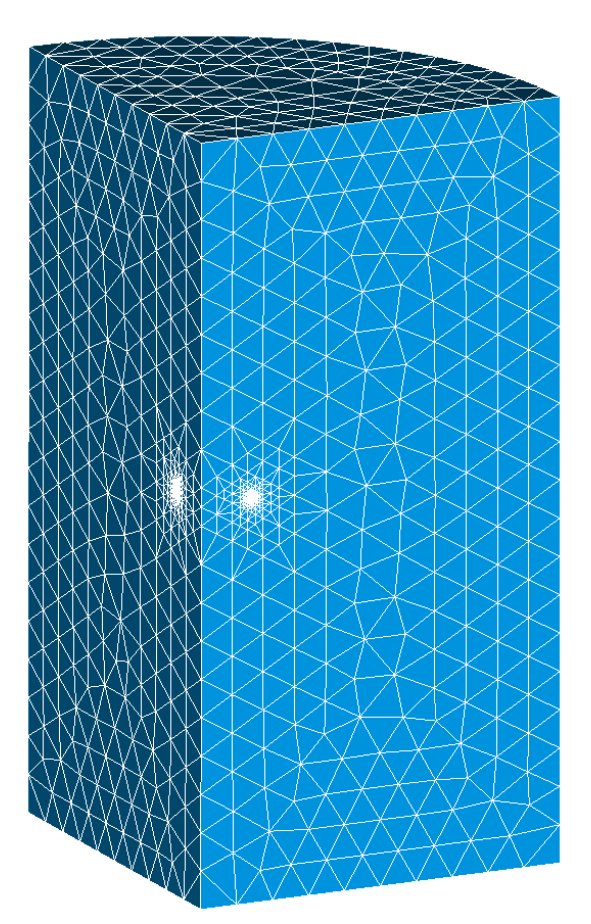


Figure 5.2-2: maillage raffiné

Date: 21/06/2012 Page: 12/14 Responsable: Samuel GENIAUT Clé: V3.04.155 Révision: 9157

5.3 Conditions aux limites et chargements

- -Un effort surfacique de traction est appliqué sur les faces supérieure, inférieure et extérieure ;
- -Les conditions de symétrie sur les faces latérales sont appliquées ;
- -Le mode rigide de déplacement suivant l'axe Oy est bloqué via le blocage d'un nœud suivant cet

5.4 Grandeurs testées et résultats

Le choix des paramètres numériques pour le post-traitement des SIFs est identique à celui fait pour la modélisation A : $R_{inf} = 2h$ et $R_{sup} = 5h$.

Valeurs issues de CALC G 5.4.1

Les valeurs sont en $Pa.\sqrt{m}$.

Identification	Type de référence	Valeur de référence	Tolérance
$max(K_I)$	'ANALYTIQUE'	1,177 10 ⁶	5%
$min(K_I)$	'ANALYTIQUE'	1,177 10 ⁶	2%
$max(K_{II})$	'ANALYTIQUE'	0,3153 10 ⁶	15%
$min(K_{II})$	'ANALYTIQUE'	0,3153 10 ⁶	5%

5.4.2 Valeurs issues de POST K1 K2 K3

Les valeurs sont en $Pa.\sqrt{m}$.

Identification	Type de référence	Valeur de référence	Tolérance
$max(K_I)$	'ANALYTIQUE'	1,177 10 ⁶	2%
$min(K_I)$	'ANALYTIQUE'	1,177 10 ⁶	9%
$max(K_{II})$	'ANALYTIQUE'	0,3153 10 ⁶	14%
$min(K_{II})$	'ANALYTIQUE'	0,3153 10 ⁶	2%

5.4.3 **Commentaires**

En raffinant davantage le maillage, on peut diminuer l'erreur, mais le temps de calcul devient incompatible avec celui d'un cas-test.

Révision: 9157

Date: 21/06/2012 Page: 13/14

Clé: V3.04.155

0

0,5

Titre : SSLV155 - Fissure lentille en traction

Responsable : Samuel GENIAUT

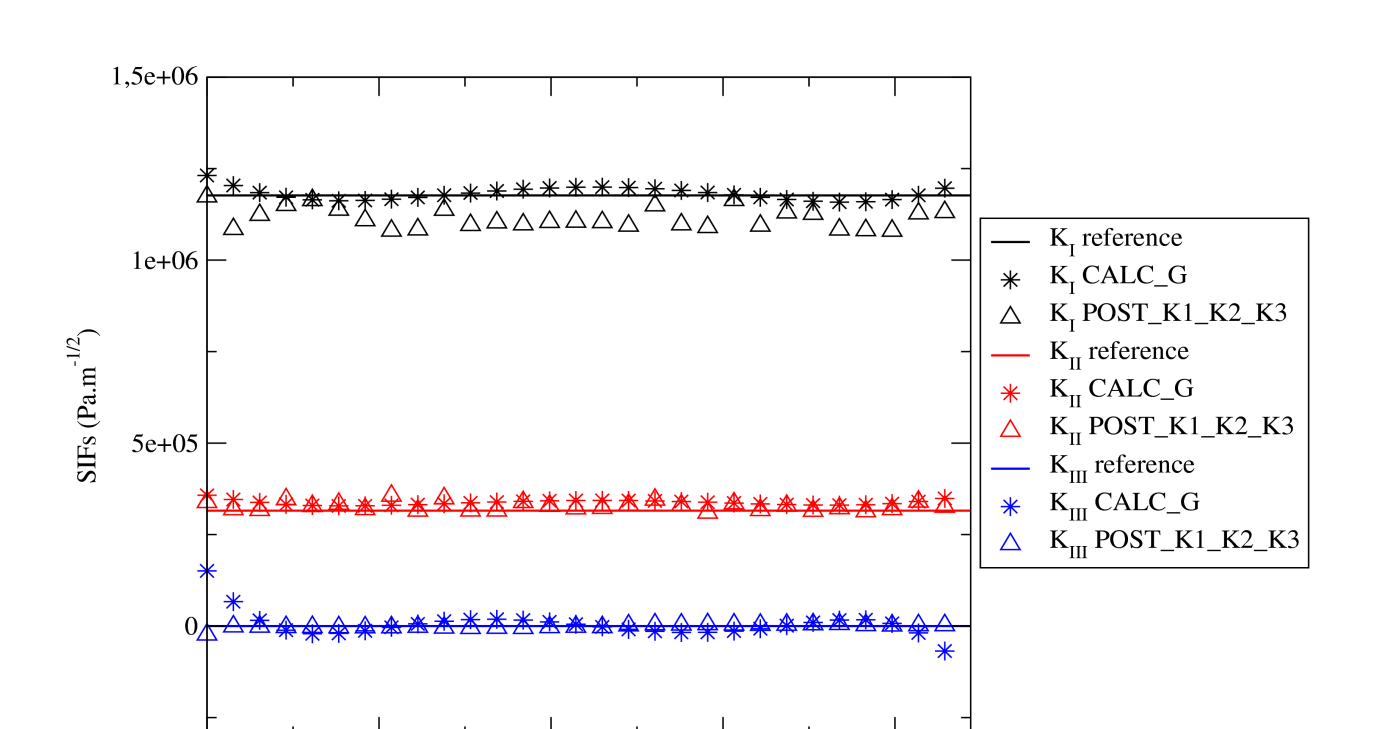


Figure 5.4.3-1: comparaison des K entres les différentes méthodes

abscisse curviligne le long du fond de fissure (m)

1,5

2



Révision: 9157

Date: 21/06/2012 Page: 14/14

Clé: V3.04.155

Code Aster

6

Titre: SSLV155 - Fissure lentille en traction

Responsable : Samuel GENIAUT

Synthèse des résultats

Ce cas-test valide la calcul des facteurs d'intensité de contrainte d'une fissure non plane en 2D et en 3D.